

تأثیر مشتقهای بوسولیک اسید (AKBA) روی ساختار مونومر و دیمر (A β (1-40) و A β (1-42) : نگرش شبیه سازی دینامیک مولکولی

شهلا بلبلیان، محمدرضا بزرگمهر* و علی مرسلی



ایران، مشهد، دانشگاه آزاد اسلامی، واحد مشهد، گروه شیمی

تاریخ دریافت: ۱۴۰۰/۰۶/۰۲ تاریخ پذیرش: ۱۳۹۹/۰۳/۰۹

چکیده

دو پیتید مؤثر در بیماری آلزایمر، A β (1-40) و A β (1-42) هستند که به صورت تجمعات فیبریلی خارج سلول عصبی، باعث ایجاد بیماری می‌شوند. یکی از روش‌های مهار پیشرفت بیماری آلزایمر، تجویز داروهایی است که باعث کاهش این تجمعات شود. از جمله این داروها، داروهایی با منشاء گیاهی هستند که عوارض جانبی کمتری هم دارند. گیاه بوسولیا (Boswellia) با خواص آنتی اکسیدانی بالا، اثرات درمانی در برابر بیماریهای مختلف از جمله بیماریهای عصبی دارد، در این تحقیق، برهمکنش یک مشتق بوسولیک اسید با نام 3-O-Acetyl-11-keto-b-Boswellic acid (AKBA) با پیتیدهای A β (1-40) و A β (1-42) به صورت مونومر و دیمر به روش شبیه سازی دینامیک مولکولی بررسی شد. نتایج آنالیزهای مختلف نشان دادند بیشترین میزان انعطاف دنباله‌ها در دنباله‌های انتهای C ترمینال پیتید دوم (A β (1-40)) و در حضور لیگاند است و لیگاند، تأثیر بازدارنده‌گی و کاهش تشکیل ساختار صفحه را بر دنباله‌های انتهای (A β (1-40)) نشان می‌دهد. افینیته اتصال لیگاند به دنباله‌های از پیتیدها که بیشترین برخورد با لیگاند را داشتند، با استفاده از معیار فاکتور صورت‌بندی محاسبه شد و مشخص شد این دنباله‌ها انعطاف پذیری کمتر و در نتیجه تمایل بیشتری به پیوند با لیگاند دارند. در نهایت، جایگاههای اتصال از طریق محاسبه انرژی اتصال دنباله‌های مذکور معرفی شد که نتایج حاصل از این شبیه سازی دینامیک مولکولی تطابق خوبی با شواهد تجربی مربوطه داشت.

واژه‌های کلیدی: آلزایمر، بوسولیک اسید، بتا آمیلوئید

* نویسنده مسئول، تلفن: ۰۵۱۳۸۶۸۶۵۹۲، پست الکترونیکی: bozorgmehr@mshdiau.ac.ir

مقدمه

Protein (APP) به دست می‌آیند(۲۳). اغلب فرآیندهای تاکنورده‌گی در صفحات پروتئینی آمیلوئیدی (A β 1-40) و (A β 1-42) منجر به تشکیل فیبریلهای آمیلوئیدی می‌شود که ساختار صفحه‌ای با خواص مورفولوژیکی متمایز دارند (۲۴ و ۲۵). در یکی از بررسیهایی که با استفاده از روش‌های محاسباتی انجام شد مشخص شدکه برای تشکیل فیبریل و الیگومر A β ، نیاز به تغییر کنفورماتیون از ساختار مارپیچ به ساختار صفحه می‌باشد (۶).

بیماری آلزایمر، مهم ترین بیماری زوال عقل در جوامع بشری است (۲۷). یکی از عوامل مهم دخیل در این بیماری، پلاکهای خارج سلولی می‌باشد (۲۲). این پلاکهای خارج سلولی توسط فیبریلهایی ساخته می‌شوند که خود شامل صفحات پروتئینی آمیلوئیدی به نام آمیلوئید بتا هستند (A β)، صفحات پروتئینی آمیلوئید بتا دارای توالی ۴۳-۴۹ آمینو اسید هستند که همگی تمایل به تجمع شدگی دارند (۱۴ و ۲۵). دو پیتید مؤثر در این بیماری، Amyloid- β Precursor (A β 1-42) و (A β 1-40) هستند که از

که روی مغز موش‌های مبتلا به بیماری آزاییر انجام شد و نتایج آنالیزهای مختلفی که در حضور دو غلظت پایین (۴۵ mg/kg) و بالای (۹۰ mg/kg) بوسولیا سراتا به دست آمد، مشخص شد در حضور غلظت کم این ترکیب، افزایش قابل توجهی در سطح کولین استراز (AChE) در مغز موشها به وجود می‌آید و موشهایی که غلظت بیشتر این ترکیب را دریافت کردند، کاهش قابل توجهی در سطح AChE را نشان دادند. در واقع در طی درمان با بوسولیا سراتا، تعداد سلولهای عصبی زیاد شده و همچنین این سلولها شباهت کمتری با سلولهای مغز موشهای مبتلا به آزاییر داشته و پلاکهای آمیلوئیدی هم در مغز موشهای مبتلا به آزاییر، ناپدید شده بود. اثرات درمانی بوسولیا سراتا در غلظت بالاتر (۹۰ mg/kg) بهتر از غلظت کمتر (۴۵ mg/kg) مشاهده شد (۲۶). تحقیقاتی که با استفاده از ترکیب AKBA بر روی گروهی از موشهای انجام شد، نشان دادند که درمان با AKBA، باعث کاهش تشکیل پلاکهای A β (۱-۴۲) می‌شود (۷). در مطالعه دیگری که روی گروهی mg/kg b.wt می‌گردد، در غلظت مختلف mg/kg b.wt ۱۳۷/۵ و ۶۸/۷۵ از AKBA انجام شد، مشخص شد که در حضور غلظت کمتر این ترکیب (۶۸/۷۵)، میزان اختلال عصبی و فعالیت آنزیم کولین استراز افزایش بیشتری داشته است (۲۳).

در تحقیق حاضر، از لیگاند بوسولیک اسید (AKBA) به عنوان بازدارنده تشکیل تجمعات صفحات پروتئینی آمیلوئیدی (40) A β و (42) A β (مونومری و دیمری) استفاده شد تا تغییرات ساختاری این صفحات پروتئینی آمیلوئیدی و همچنین شناسایی جایگاههای اتصال لیگاند به صفحات پروتئینی آمیلوئیدی با استفاده از روش شبیه سازی دینامیک مولکولی بررسی شود.

مواد و روشها

در این تحقیق ۸ جعبه شبیه سازی با ابعاد مختلف طراحی شد. در ۴ جعبه اول، پیتید (40) A β با کد 1ba4 (۶) در

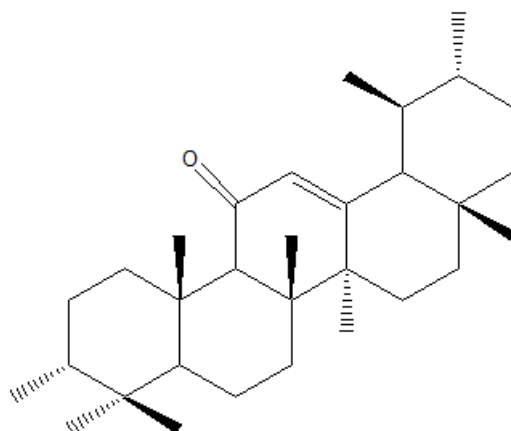
با توجه به پیشرفت‌های قابل توجه در فهم مکانیسمهای مرتبط با پیشرفت بیماری آزاییر، هنوز داروهای مؤثر متوقف‌کننده این بیماری شناخته نشده است (۱۹). از آنجاییکه دستیابی به داروهایی با اثرات جانبی کمتر به خصوص با منشاء گیاهی هدف بسیاری از محققین می‌باشد، اهمیت درمان با گیاهان دارویی به طور سنتی در بیماریهای مختلف مورد استفاده قرار گرفته‌اند. به طور خاص، اجزای شیمیایی با فعالیت آنتی اکسیدانی می‌توانند در غلظتهاهای بالا در گیاهان یافت شوند و اثرات درمانی در برابر بیماریهای مختلف از جمله بیماریهای عصبی داشته باشند (۲۶). یکی از این گیاهان دارویی، بوسولیا (کندر) است. بوسولیا از جمله درختان معطر شناخته شده‌ای است که کاربردهای دارویی زیادی دارد و بیشتر در مناطق آفریقای شمالی و کشورهای عربی تجارت می‌شود. کندر یک رزین طبیعی چسب مانند می‌باشد (۳). بوسولیا دارای گونه مشخص است که یکی از مهم ترین آنها، بوسولیک سراتا (Boswellia serrata) است (۷،۲۴). بوسولیک اسیدها مشترک در همه گونه‌های بوسولیا دارند. بوسولیک اسیدها از نظر ترکیب شیمیایی، ساختار 3-hydroxyurs-12-ene-23-oic acid دارند. شش ترکیب مهم بوسولیک اسید که در همه گونه‌های بوسولیا وجود دارند شامل آلفا بوسولیک اسید β -Acetylated α and β -Boswellic Acids (ABA) و α -Boswellic Acids (α -BA)، بتا بوسولیک اسید β -Boswellic Acids (β -BA)، اسید استیل آلفا و بتا-بوسولیک Acetylated α and β -BoswellicAcids (ABA)، ۱۱-کتو بتا-بوسولیک اسید (KBA) و اسید ۱۱-keto- β -Boswellic acid (KBA) هستند (۲۸). بنابراین دو تا از استیل ۱۱-کتو بتا-بوسولیک اسید ۳-O-acetyl-11-keto- β -Boswellic acid (AKBA) هستند (۱۵). بوسولیا سراتا دارای فعالیت آنتی اکسیدانی قابل توجهی در سیستم مغزی و عروقی است (۲۹). یکی از تاثیرات این ترکیب در بیماری آزاییر، افزایش طول عمر سلولهای عصبی است (۲۳). در تحقیقی

مولکولی با نرم افزار گرومکس نسخه ۵.۱.۲ (۲۰) و میدان نیروی ۴۳a1 gromos انجام شد. نام در نظر گرفته شده برای هر سیستم شامل دو بخش است. کاراکتر A نشان دهنده پپتید (۱-۴۰) A β و کاراکتر B نشان دهنده پپتید A β (۱-۴۲) است. کاراکتر L هم معرف لیگاند بوسولیک اسید (۱-۴۲) است. به عنوان مثال سیستم A2L سیستمی است که شامل دو پپتید (۱-۴۰) A β و در حضور لیگاند است. و یا سیستم B2 سیستمی است که فقط شامل دو پپتید (۱-۴۲) A β و در غیاب لیگاند است. نام و مشخصات سیستمهای شبیه سازی و اجزای هر سیستم در جدول ۱ گزارش شده است.

نتایج و بحث

از آنجایی که تغییرات انعطاف پذیری دنباله های پپتید، در فعالیت آن نقش زیادی دارند، از آنالیز RMSF که معیاری از انعطاف پذیری دنباله های پروتئین به شمار می رود (۹)، برای بررسی انعطاف پذیری دنباله های پپتیدهای A β (۱-۴۰) و A β (۱-۴۲) در همه سیستمهای طراحی شده استفاده شد و نتایج در شکل ۲ نشان داده شده است. نتایج آنالیز RMSF نشان می دهد که افزودن لیگاند بوسولیک اسید به پپتیدهای (۱-۴۰) A β و (۱-۴۲) A β ، باعث کاهش انعطاف پذیری اغلب دنباله های این پپتید در سیستمهای A2L و B2L شده است. بیشترین میزان انعطاف دنباله ها در دنباله های انتهای C ترمینال پپتید ۲ در سیستم A2L و کمترین میزان انعطاف دنباله ها در سیستم B1L و A1 مشاهده شد. برای بررسی دقیق تر، تغییرات ساختار دوم هر پپتید در سیستمهای مختلف مشخص شد و در جدول ۲ گزارش شده است. نتایج نشان دادند که ساختار صفحه بیشتر در انتهای C ترمینال پپتیدها تشکیل شده است. با افزودن لیگاند به سیستم A1L، ساختار صفحه کاملاً از بین رفت و میزان ساختار ماربیچ هم افزایش قابل ملاحظه ای را نشان داد. افزودن لیگاند به سیستم A2L، باعث کاهش قابل ملاحظه ساختار صفحه در پپتید ۱ این سیستم شد. این در حالی است که افزودن لیگاند به پپتیدهای A β (۱-۴۲)

مرکز جعبه ها قرار داده شد. به دو تا از این جعبه ها یک پپتید دیگر (۱-۴۰) A β افزوده شد تا سیستم دیمری هم تشکیل شود. سپس لیگاند بوسولیک اسید (AKBA) به یکی از سیستمهای مونومر و یکی از سیستمهای دیمر افزوده شد. همین روند برای چهار جعبه دیگر هم انجام شد، با این تفاوت که به جای پپتید (۱-۴۰) A β از پپتید (۱-۴۲) با کد 1Z0Q استفاده شد.



شکل ۱- ساختار شیمیایی (R=AcO) AKBA

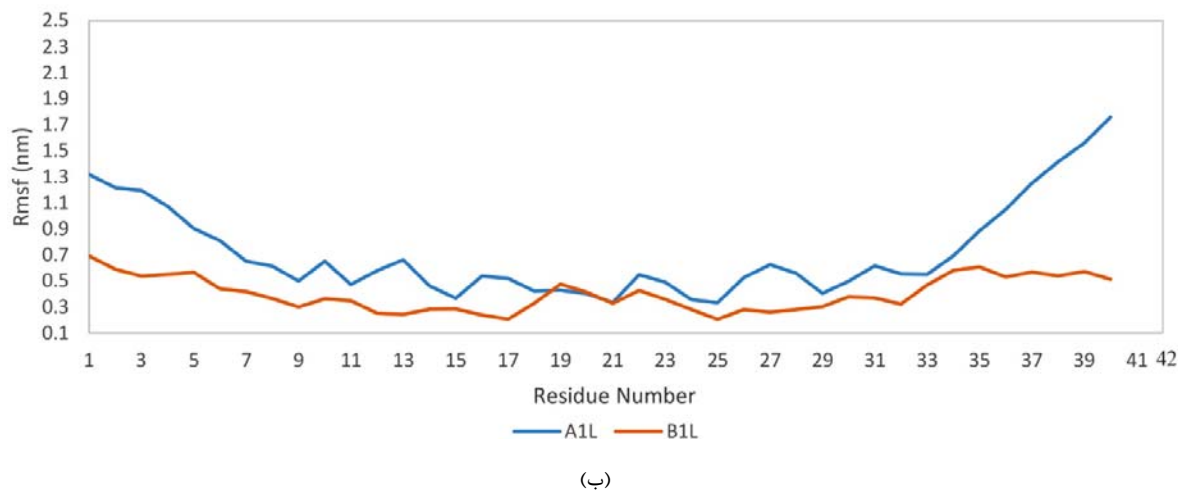
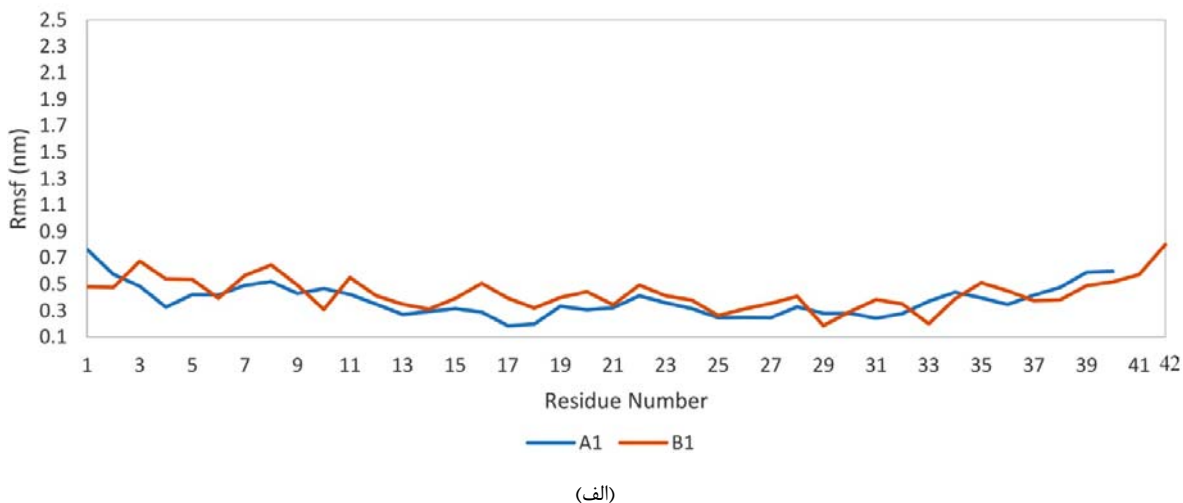
سپس هر یک از جعبه های شبیه سازی با استفاده از آب مدل SPC پر شد. جهت خشی سازی محلولهای حاصل، یونهای سدیم به تعداد لازم به هر یک از جعبه های طراحی شده اضافه شد. در ادامه، در مجموعه NVT شش شبیه سازی ۵۰۰ ps با گام زمانی ۲ fs انجام شد. طی این شبیه سازیها اتمهای اجزای سیستم مقید شدند. سپس قیدها برداشته شد و سیستمهای برای مدت ۵۰۰ ps با همان گام زمانی به تعادل رسیدند. پیکربندیهای ایجاد شده برای ادامه شبیه سازی انتخاب شدند. در مرحله آخر، هر یک از سیستمهای دستخوش ۳۰۰ ns شبیه سازی با گام زمانی ۲ fs شدند. از الگوریتم v-resclae و berendsen به ترتیب برای کنترل دما و فشار اجزای سیستم استفاده شد (۸). پیوند شیمیایی اجزای غیر حلal با الگوریتم LINC (۲۱) و پیوند شیمیایی مولکولهای حلal با الگوریتم SETTLE (۲۴) مقید گردید. از الگوریتم PME برای محاسبه بار الکترواستاتیک استفاده شد (۱۷). همه محاسبات شبیه سازی دینامیک

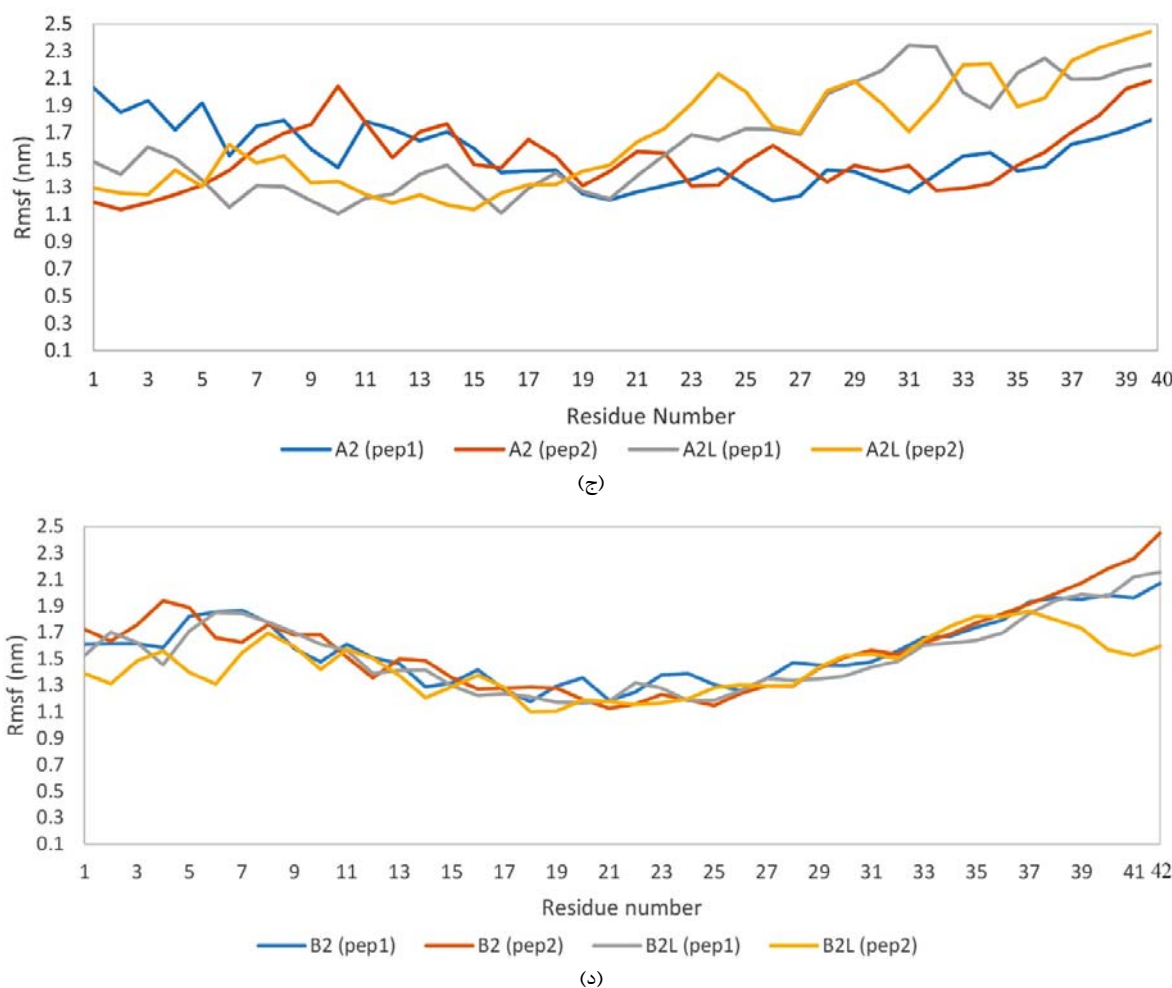
می شود و الیگومرها نامحلول بیشتر ساختار صفحه‌ای بتا را نشان می‌دهند (۲،۶). بنابراین نتایج این تحقیق نشان می‌دهند که افزودن لیگاند بوسولیک اسید تأثیر بازدارندگی بر روی تشکیل صفحات بتا و تجمعات فیبریلی در سیستمهای شامل A β (1-40) داشته است.

باعث افزایش درصد ساختار صفحه سیستمهای B1L, B2L شد و میزان ساختار مارپیچ هم در این سیستمهای کاهش یافت (به جز پیتید ۲ در سیستم B2L). مطالعات گذشته نشان دادند که در هنگام تبدیل پیتید بتا آمیلوئید به اولیگومرها سیمی، ساختار مارپیچ آلفا تبدیل به صفحه بتا

جدول ۱- نام، تعداد و نوع مولکول‌ها در جعبه‌های شبیه‌سازی

| Box no. | Name of system | Number of Peptide | Name of peptide | Number of ligand | Number of Sol | Dimensions of Box (nm ³) |
|---------|----------------|-------------------|------------------|------------------|---------------|--------------------------------------|
| 1 | A1 | 1 | A β (1-40) | 0 | 12363 | 6.47988×4.59050×4.42655 |
| 2 | A2 | 2 | A β (1-40) | 0 | 24750 | 8.23649×5.35037×5.97918 |
| 3 | A1L | 1 | A β (1-40) | 1 | 15684 | 6.48925×4.82039×5.31393 |
| 4 | A2L | 2 | A β (1-40) | 1 | 28665 | 8.23654×5.35040×6.90793 |
| 5 | B1 | 1 | A β (1-42) | 0 | 12750 | 7.08628×4.39844×4.35648 |
| 6 | B2 | 2 | A β (1-42) | 0 | 24369 | 9.00256×5.04160×5.73089 |
| 7 | B1L | 1 | A β (1-42) | 1 | 15444 | 7.08805×4.39955×5.24908 |
| 8 | B2L | 2 | A β (1-42) | 1 | 29262 | 9.05205×5.06931×6.77006 |





شکل ۲- مقادیر RMSF برای هر دنباله پیتیدهای A β (1-40) و A β (1-42) در سیستمهای شبیه سازی مختلف. (الف) سیستم A1,B1، (ب) سیستم B2,B2L ، (ج) سیستم A2,A2L ، (د) سیستم A11,B1L

اتصال می باشد. بر اساس این ایده از الگوی توسعه داده شده توسط حسین‌دخت و همکاران استفاده شد که در آن P_i معادل افینیته در نظر گرفته شده است (۵). P_i در واقع مقدار میانگین برخوردها با یک دنباله مشخص در طول زمان شبیه سازی است که می توان مقادیر آن را از معادله $P = \frac{n_i}{N}$ به دست آورد. از طریق معادله (۱) به دست می آید.

$$\langle N \rangle = \sum_{i=1}^N \frac{n_i}{N} \quad (1)$$

n_i تعداد برخورد با آمین دنباله و N شماره دنباله مورد نظر در ساختار پیتید می باشد.

چون بیشترین میزان ساختار مارپیچ و کمترین میزان ساختار صفحه در سیستمهای A1L و B2L مشاهده شد، بنابراین به نظر می رسد تاثیر بازدارندگی لیگاند بوسولیک اسید در این سیستمهای بیشتر از سایر سیستمهای است.

برای بررسی دقیق تر بر همکنش پیتید با لیگاند در سیستمهای مختلف، افینیته اتصال لیگاند محاسبه شد. از فاکتور صورت‌بندی به عنوان معیاری از افینیته استفاده شد؛ به دلیل حرکت مولکولهای پیتید و لیگاند در طول زمان شبیه سازی، لیگاند می تواند به قسمتهای مختلفی از پیتید برخورد کند. انتظار می رود که محلهایی از پیتید که با لیگاند برخورد بیشتری داشته باشد، مستعد تشکیل جایگاه

جدول ۲- ساختار دوم دنباله های A β (1-40) و A β (1-42) در همه سیستمهای شبیه سازی

| RES NO | A1 | A2 | A2 | A1L | A2L | A2L | B1 | B2 | B2 | B1L | B2L | B2L |
|--------|--------|--------|--------|--------|--------|--------|--------|--------|--------|--------|--------|--------|
| | (pep1) | (pep2) |
| ASP1 | C | C | C | C | C | C | C | C | C | C | C | C |
| ALA2 | C | C | C | C | C | C | C | C | C | C | C | C |
| GLU3 | C | C | C | C | C | C | C | C | S | C | C | C |
| PHE4 | S | C | S | C | C | C | C | C | S | C | C | C |
| ARG5 | C | S | C | C | C | C | C | C | C | C | C | C |
| HIS6 | C | C | C | C | C | C | C | C | C | C | C | C |
| ASP7 | C | C | C | C | C | C | H | C | C | C | C | C |
| SER8 | C | C | C | C | C | C | H | H | C | C | C | C |
| GLY9 | C | C | C | C | C | C | C | H | H | C | C | C |
| TYR10 | H | H | H | C | C | C | C | H | H | H | C | C |
| GLU11 | H | H | H | C | C | C | H | H | H | H | H | C |
| VAL12 | H | C | H | H | C | C | H | H | H | H | H | H |
| HIS13 | H | H | H | H | C | C | H | H | H | H | H | H |
| HIS14 | H | H | H | H | H | C | H | H | H | H | H | H |
| GLN15 | H | H | H | H | H | H | H | H | H | H | H | H |
| LYS16 | C | H | H | H | H | H | H | H | H | H | H | H |
| LEU17 | C | H | H | H | H | H | S | H | C | H | H | H |
| VAL18 | C | H | H | H | H | H | H | H | C | C | H | H |
| PHE19 | C | H | H | H | H | H | H | H | C | C | H | H |
| PHE20 | C | H | H | H | C | H | H | H | C | C | H | H |
| ALA21 | C | C | H | H | C | H | H | H | C | S | H | H |
| GLU22 | C | C | H | H | C | C | C | H | C | C | C | H |
| ASP23 | C | C | H | H | C | C | C | H | C | C | C | H |
| VAL24 | S | S | H | H | C | S | S | C | C | S | S | H |
| GLY25 | S | S | H | H | H | S | S | C | C | S | S | H |
| SER26 | C | C | H | H | H | C | C | H | C | C | C | H |
| ASN27 | C | C | C | H | H | C | C | H | C | C | C | H |
| LYS28 | S | S | C | H | C | S | S | H | C | S | S | H |
| GLY29 | S | S | C | C | C | S | S | H | C | S | S | H |
| ALA30 | C | C | C | C | C | C | C | H | C | C | C | C |
| ILE31 | C | C | C | C | C | C | C | H | C | C | C | C |
| ILE32 | S | S | C | C | S | S | S | H | C | S | S | C |
| GLY33 | S | S | C | C | C | S | S | H | C | S | S | S |
| LEU34 | C | C | C | C | C | C | C | H | C | C | C | S |
| MET35 | C | S | C | C | C | C | C | H | C | C | C | C |
| VAL36 | S | S | C | C | S | S | S | C | C | S | C | S |
| GLY37 | C | C | C | C | C | C | C | C | C | C | S | S |
| GLY38 | C | S | S | C | C | C | C | C | C | S | S | C |
| VAL39 | C | C | C | C | C | C | C | C | C | S | C | C |
| VAL40 | C | C | C | C | C | C | C | C | C | C | C | C |
| ILE41 | - | - | - | - | - | - | C | C | C | C | C | C |
| ALA42 | - | - | - | - | - | - | C | C | C | C | C | C |

C=Random Coil, H= Helix, S= beta sheet

دباله های مختلف پیتیدها در سیستمهای شبیه سازی شده مختلف، محاسبه شد. دباله هایی که مقادیر فاکتور صورت‌بندی آنها از یک بیشتر است در جدول ۳ لیست شده است.

فاکتور کنفورماتیونی P_i زمانی که بیشتر از ۱ باشد، نشان دهنده مقادیر بالای افینیته اتصال به لیگاند است و می‌توان دباله های دارای $P_i > 1$ را به عنوان جایگاه‌هایی برای اتصال در نظر گرفت درحالی‌که در $P_i < 1$ ، افینیته اتصال به لیگاند مشاهده نمی‌شود. با توجه به روش فوق، مقادیر P_i

جدول ۳- نام و شماره دباله های $A\beta(1-40)$ و $A\beta(1-42)$ با مقادیر $P_i > 1$ در سیستمهای شبیه سازی مختلف

| System | Residue no |
|------------|---|
| A1L | Lys16 (1.32),Phe20(2.72),Ala21(1.37),Gly25(1.28),Lys28(1.28),Gly29(1.54),Ala30(1.01),Ile31(1.01),Ile32(2.25),Gly33(2.56),Leu34(4.10),Met35(5.26),Val36(3.53),Gly37(1.92),Gly38(1.18),(Val39(2.34) |
| B1L | Asp1(1.29),Ala2(1.50),Glu3(1.49),Phe4(2.84),Tyr10(1.69),His13(2.88),Leu17(2.25),Phe20(2.59),Val24(1.82),Gly25(1.29),Lys28(2.40),Gly29(3.04),Gly33(1.01),Leu34(2.58),Val39(1.57),Val40(3.42),Ile41(3.20) |
| A2L (pep1) | Val18(1.84),Val24(1.25),Gly25(4.51),Ser26(1.48),Ile32(1.19),Gly38(5.28),Val39(7.44),Val40(16.06) |
| A2L (pep2) | Glu3(1.033),Phe4(2.06),Arg5(3.22),His6(3.15),Asp7(2.81),Ser8(2.10),Gly9(1.68),Tyr10(4.51),Gln15(3.07),Lys16(1.02),Phe19(5.42),Asn27(1.59),Ile31(1.2 |
| B2L (pep1) | Gln15(6.06),Lys16(2.25),Phe19(5.99),Ser26(1.67),Ala30(2.94),Ile31(4.57),Met35(9.01),Val36(2.49),Val40(1.98),Ile41(1.00) |
| B2L (pep2) | His13(1.01),Leu17(5.53),Val18(4.71),phe21(6.53),Glu22(4.43),Gly25(3.64),Ser26(9.82),Ala30(2.80),Leu34(1.22) |

فاکتور صورت‌بندی بزرگتر از یک محاسبه شد. برای محاسبه، الگوریتم MMPBSA که یک ابزار محاسباتی قدرتمند در آنالیز برهمکنش‌های مولکولهای زیستی است، به کار گرفته شد (۱۸). در این روش انرژی اتصال ($\Delta G_{binding}$) بین مولکول هدف و لیگاند از طریق رابطه زیر به دست می‌آید:

$$\Delta G_{binding} = G_{complex} - (G_{protein} + G_{ligand})$$

به این ترتیب، مقدار انرژی برهمکنش بین لیگاند و دباله های پیتید در سیستمهای مختلف شبیه سازی در جدول ۴ لیست شده است.

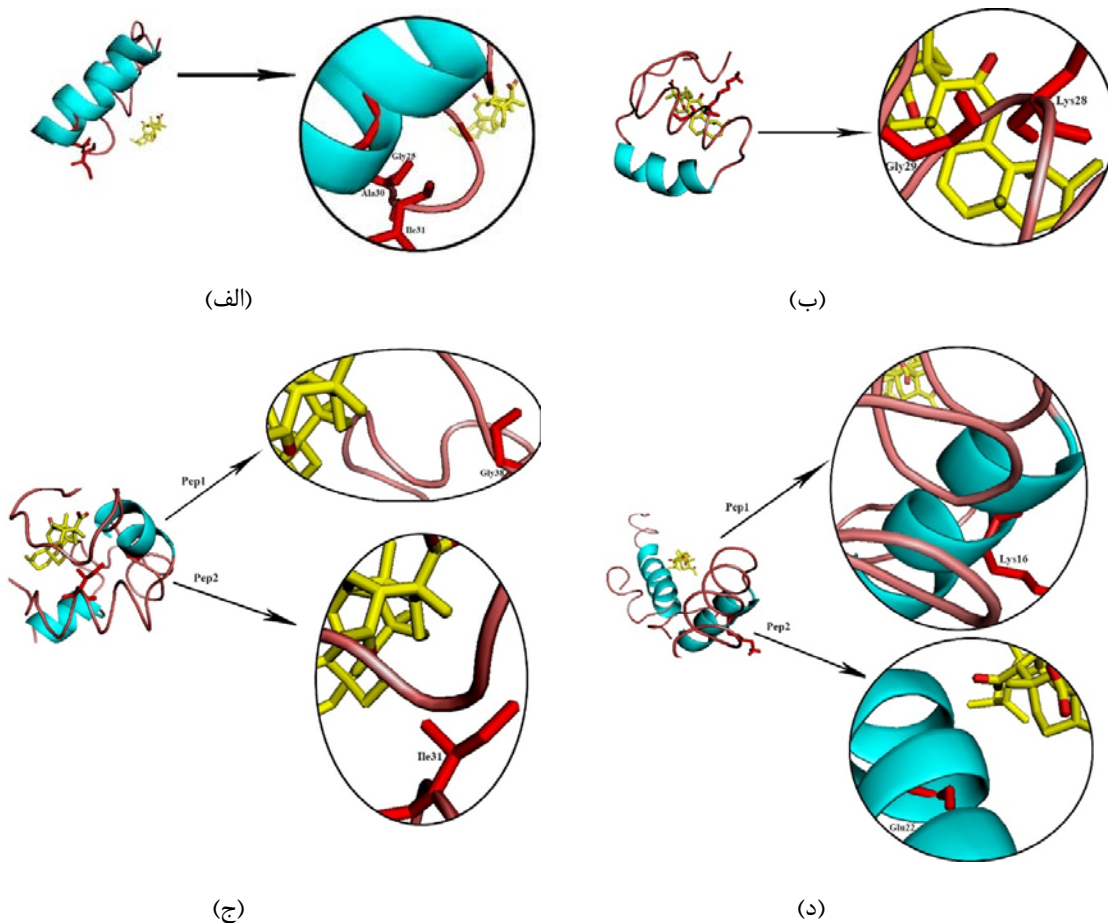
با توجه به نتایج جدول ۳ مشاهده می‌شود که دباله ها با $P_i > 1$ در اغلب سیستمهای (به جز پیتید ۲ در سیستم A2L) در انتهای C ترمینال پیتیدها قرار گرفته‌اند. اتصال به لیگاند در سیستمهای مونومریک نسبت به سیستمهای دیمر، از جایگاه‌های اتصال بیشتری برخوردار است. نتایج مقادیر P_i در جدول ۲ با نتایج آنالیز نمودار RMSD در شکل ۲ همخوانی خوبی دارد (به جز پیتید ۲ در سیستم A2L) و بیشتر دباله هایی که مقدار $P_i > 1$ دارند، انعطاف پذیری کمتری نسبت به سایر دباله های پیتید دارند و در نتیجه تمایل بیشتری به پیوند با لیگاند دارند. به منظور مطالعه دقیق تر، در هر سیستم، انرژی اتصال برای دباله های با

جدول ۴- نام و تعداد دباله ها با کمترین انرژی پیوند در سیستمهای شبیه سازی مختلف

| System | Residues energy |
|------------|---|
| A1L | Lys16 (-1.78), Gly25 (-2.14), Gly29 (-0.46), Ala30 (-1.21), Ile31 (-9.32), Ile32 (-0.70), GLY37 (-0.17) |
| B1L | Asp1(-0.04), Val24(-0.37), Gly25(-0.95), Lys28(-5.71), Gly29(-8.85), Gly33(-0.55), Leu34(-1.43), Ile41(-0.02) |
| A2L (pep1) | Gly38 (-0.03) |
| A2L (pep2) | Phe4 (-0.01), Arg5 (-0.93), His6 (-0.13), Gln15 (-0.01), Lys16 (-0.34), Ile31 (-3.11) |
| B2L (pep1) | Lys16 (-0.16), Ser26 (-0.01), Ala30 (-0.01), Ile31 (-0.01) |
| B2L (pep2) | Val18 (-0.01), Phe21 (-0.01), Glu22 (-0.05), Gly25 (-0.01), Ser26 (-0.02) |

کاهش یافته بود که با نتایج تعیین جایگاه‌های اتصال در پپتید (1-42) A β این پپتید همخوانی خوبی را نشان می‌دهد. تغییرات انعطاف پذیری دنباله‌های Gln15 و Lys16 پپتید (1-40) A β در سیستم A2L هم با نتایج تعیین جایگاه اتصال این سیستم تطابق خوبی نشان می‌دهد. کاهش انعطاف پذیری و کمترین مقادیر انرژی اتصال دنباله‌های A β (1-40) در سیستم B2L هم با یکدیگر توافق خوبی دارد. در شکل ۳ در ساختار پپتیدهای (1-40) A β و (1-42) A β برخی از دنباله‌های با فاکتور صورت‌بندی بزرگ‌تر از ۱ که انرژی اتصال کمتری دارند و مستعد اتصال با لیگاند هستند، نشان داده شده است.

نتایج جدول ۴ نشان می‌دهند که کمترین مقادیر انرژی در سیستم A1L مشاهده می‌شود و به ترتیب مربوط به دنباله‌های Ala30 و Gly25 و Ala30 Gly29 و Lys28 است. در سیستم B1L کمترین مقادیر انرژی مربوط به دنباله‌های Ile31 و Leu34 و در پپتید ۲ سیستم A2L مربوط به دنباله‌های Ile31 Leu34 و Gly25 باشد. به این ترتیب دنباله‌های مذکور در هر سیستم شبیه سازی به عنوان جایگاه‌های اتصال لیگاند به پپتید در سیستمهای مختلف معرفی می‌شوند. جایگاه‌های اتصال بیشتر در ناحیه C ترمینال پپتیدها قرار دارند. همانطور که در نتایج منحنی RMSF پپتید (1-42) A β در سیستم B1L مشاهده شد، انعطاف پذیری دنباله‌های Val24 و Gly25 و Lys28 و Ile41 این پپتید در حضور لیگاند بوسولیک اسید



شکل ۳- شماتیک موقعیت قرار گیری برخی از دنباله‌های پپتیدهای (1-40) A β و (1-42) A β در جایگاه‌های اتصال لیگاند به پپتید در سیستمهای شبیه سازی مختلف. (a) در سیستم A1L، (b) در سیستم A2L، (c) در سیستم B1L، (d) در سیستم B2L

سیستمهای بیشتر از سایر سیستمهای است. برای بررسی دقیق تر بر همکنش پیتید با لیگاند در سیستمهای مختلف، از افینیته اتصال لیگاند استفاده شد. دنباله ها با $P_i > 1$ در اغلب سیستمهای در انتهای C ترمینال پیتیدها قرار گرفته اند. اتصال به لیگاند در سیستمهای مونومریک نسبت به سیستمهای دیمر، از جایگاه‌های اتصال بیشتری برخوردار است. و نتایج مقادیر P_i با نتایج انعطاف پذیری دنباله ها در پیتیدهای مختلف هم خوانی خوبی دارد. چون دنباله های پیتید با فاکتور صورتبندی بزرگتر از یک به عنوان جایگاه های اتصال لیگاند به پیتید در سیستمهای مختلف معرفی می‌شوند، انرژی اتصال برای این دنباله در هر سیستم محاسبه شد. جایگاه های اتصال بیشتر در ناحیه C ترمینال پیتیدها قرار دارند. نتایج میزان انعطاف پذیری و کمترین مقادیر انرژی اتصال دنباله ها در سیستمهای مختلف توافق خوبی با هم نشان می دهند.

نتیجه گیری

در این تحقیق از یکی از مشتقات بوسولیک اسید (کندر) به نام (AKBA) به عنوان بازدارنده تشکیل تجمعات پیتیدی A β (1-40) و A β (1-42) (مونومری و دیمری) استفاده شد تا تغییرات ساختاری این پیتیدها و همچنین شناسایی جایگاه‌های اتصال لیگاند به پیتیدها با استفاده از روش شبیه سازی دینامیک مولکولی بررسی شود. چون تغییرات انعطاف پذیری دنباله های پیتیدها با استفاده از روش شبیه سازی دینامیک مولکولی بررسی شود. در فعالیت آنها نقش زیادی دارد (۱۰)، میزان انعطاف پذیری دنباله های پیتیدها بررسی شد و مشخص شد افزودن لیگاند باعث کاهش انعطاف پذیری اغلب دنباله های این پیتید در سیستمهای A2L و B2L شده است و چون بیشترین میزان ساختار مارپیچ و کمترین میزان ساختار صفحه در سیستمهای A1L و B2L مشاهده شد بنابراین به نظر می رسد تأثیر بازدارنده لیگاند بوسولیک اسید در این

منابع

۲. نصیری خلیلی، م.ع. همکاران. ۲۰۱۵. بررسی نقش نانوذرات آهن مغناطیسی در القای تجمعات فیبریلی پروتئین تاو نوترکیب انسانی. پژوهش‌های سلولی و مولکولی (مجله زیست‌شناسی ایران): ۵۹۰-۵۹۶
3. Abdel-Tawab, M. Schubert-Zsilavecz, M. 2011. Werz, O. Boswellia serrata: an overall assessment of in vitro, preclinical, pharmacokinetic and clinical data. Clin. Pharmacokinet: 50: 349-369
4. Ali, A.Y. Blain, E.J. Duance, V.C. 2010, Boswellia frereana (frankincense) suppresses cytokine-induced matrix metalloproteinase expression and production of pro-inflammatory molecules in articular cartilage. Phytother Res: 24(6): 905-12
5. Bahrololoom, M. Bozorgmehr, M.R. Housaindokht, M.R. 2008. Analysis of ligand binding to proteins using molecular dynamics simulations. Journal of theoretical biology: 254(2): 294-300.
6. Boopathi, S. and Kolandaivel, P. 2015. Study on the inter- and intra-peptide salt-bridge mechanism of A β 23–28 oligomer interaction with small molecules: QM/MM method, Mol. BioSyst: 11: 2031–2041
1. فرامرزیان، م بهرامی کیا، س.ا. ۲۰۲۰. بررسی اثر عصاره جفت بلوط بر روند شکل‌گیری تجمعات آمیلوبیدی و تجمع‌زدایی فیبرهای پروتئین لیزوژیم سفیده تخمر مرغ. پژوهش‌های سلولی و مولکولی (مجله زیست‌شناسی ایران): در حال انتشار
7. Boren, K.E. Schreuder, M.F. Smith, B.L. Suhail, M.M. Taylor, L.C. Woolley, C.L. 2012. Chemical differentiation of Boswellia sacra and Boswellia carterii essential oils by gas chromatography and chiral gas chromatography-mass spectrometry. J Chromatogr A: 1261: 158-63
8. Bussi, G. Donadio D. and Parrinello, M. 2007. Canonical sampling through velocity rescaling. The Journal of chemical physics: 126(1): 101-104
9. Carugo, O. Pongor, S. 2010. A normalized root-mean-square distance for comparing protein three-dimensional structures. Protein science: 10 (7): 1470-1473
10. Chinnici, C. M. Firuzi, Praticò, D. O. Wisniewski, T. Zhuo, J. 2008. 5-lipoxygenase gene disruption reduces amyloid-beta pathology in a mouse model of Alzheimer's disease. FASEB J. 22, 1169–1178

11. Coles, M. et al. 1998. Solution Structure of Amyloid β -Peptide (1–40) in a Water– Micelle Environment. Is the Membrane-Spanning Domain Where We Think It Is? *Biochemistry*: 37(31):11064-11077
12. Dagne, E. De Rapper, S. Kamatou, GP. Van Vuuren, SF. Viljoen, AM. 2012. The additive and synergistic antimicrobial effects of select frankincense and myrrh oils-a combination from the pharaonic pharmacopoeia. *Lett Appl Microbiol*: 54(4): 352-8
13. De Strooper, B. Hebert, SS. Reinhard, C. 2005. The amyloid-beta precursor protein: integrating structure with biological function. *Embo J*: 24:3996–4006
14. Dobson, C. M. 2001. The structural basis of protein folding and its links with human disease. *Philos.Tran. Roy. ser., B*: 356: 133–145
15. Du, Z. Liu, Y. Liu, Z. Ning, Z. Song, Z. Wang, C. 2015. Prospects of boswellic acids as potential pharmaceuticals. *Planta Med*: 81: 259-71
16. El-Shenawy, S. M.A. Yassina, N. A.Z. 2013. Effect of *Boswellia serrata* on Alzheimer's disease induced in rats, *The Arab Society for Medical Research*: 8:1–11
17. Essmann, U. et al. 1995. A smooth particle mesh Ewald method. *The Journal of chemical physics*: 103(19): 8577-8593
18. Ghanbari, Z. et al. 2017. Effects of synergistic and non-synergistic anions on the iron binding site from serum transferrin: A molecular dynamic simulation analysis. *Journal of Molecular Graphics and Modelling*: 78:176-186.
19. Gotz, J. Ittner, LM. Nisbet, RM. Polanco, JC. 2015. Tau aggregation and its interplay with amyloid- β . *Acta Neuropathol*: 129 (2): 207-20
20. Henderson, A. S. Jorm, A. F. 2002. De_nition, and Epidemiology of Dementia: A Review, in *Dementia* (eds M. Maj and N. Sartorius). John Wiley & Sons, Ltd, Chichester, UK: 1-33
21. Hess, B. et al. 1997. LINCS: a linear constraint solver for molecular simulations. *Journal of computational chemistry*: 18(12): 1463-1472.
22. Iversen, L.L. Ilack Po, S. J. Mortishire-Smith, R.J. Shearman, M.S. 1995. The toxicity in vitro of beta-amyloid protein. *Biochem. J*: 311:1-16
23. Karima, O. Movahedi, AA. Riazi, G. Yousefi, R. 2010. The enhancement effect of beta-boswellic acid on hippocampal neurites outgrowth and branching. *Neurol Sci*: 31:315-20
24. Kollman, P.A. Miyamoto, S. 1992. Settle: An analytical version of the SHAKE and RATTLE algorithm for rigid water models. *Journal of computational chemistry*: 13(8): 952-962
25. Kosik, K. S. Lansbury, P. T. 2000. Neurodegeneration:new clues on inclusions. *Chem. Biol*: 1: 9-12
26. Mentreddy, SR. 2007. Medicinal plant species with potential antidiabetic properties. *J Sci Food Agric*: 87:743–750
27. Meyer-Luehmann, M. Spires-Jones, T. L. Prada C. et al. 2008. Rapid appearance and local toxicity of amyloid- β plaques in a mouse model of Alzheimer's disease, *Nature*: 451: 720-724
28. Salah, E. N. Shoukry, S. A. 2016. Co-administration of 3-Acetyl-11-Keto-Beta-Boswellic Acid Potentiates the Protective Effect of Celecoxib in Lipopolysaccharide-Induced Cognitive Impairment in Mice: Possible Implication of Anti-inflammatory and Antiglutamatergic Pathways, *J Mol Neurosci*: 59: 58–67
29. Shah BA, Qazi GN, Taneja SC. 2009, Boswellic acids: a group of medicinally important compounds. *Nat Product Rep*; 26(1):72-89
30. Walsh, DM. et al. 1999. Amyloid beta-protein fibrillogenesis: structure and biological activity of protofibrillar intermediates. *J Biol Chem*: 274: 25945–25952

Acetyl-11-keto- β -boswellic acid derivatives effects on the monomer and dimer structure of A β (1-40) and A β (1-42) peptides: molecular dynamics simulation approach

Bolbolian Sh., Bozorgmehr M.R. and Morsali A.

Dept. of Chemistry, Mashhad Branch, Islamic Azad University, Mashhad, I.R. of Iran

Abstract

The two most effective peptides in Alzheimer's disease are A β (1-40) and A β (1-42), which cause disease in the form of fibrillar aggregates outside the nerve cell. One way to stop the progression of Alzheimer's disease is to prescribe drugs that reduce the aggregation process. These include herbal medicines that have fewer side effects. Boswellia plant with high antioxidant properties has therapeutic effect against various diseases, including neurological diseases. In this study, the interaction of a Boswellic acid derivative called 3-O-acetyl-11-keto- β -Boswellic acid (AKBA) as a ligand with the peptides A β (1-40) and A β (1-42) as monomer and dimer were studied using molecular dynamics simulation method. The results of different analyzes showed that the highest flexibility of the residues is in the C-terminal residue of the second peptide A β (1-40) and in the presence of the ligand, and the ligand has the effect of inhibiting and reducing the formation of the sheet structure on the A β peptide (1-40) residue. The affinity of the ligand binding to the residues of the peptides that had the most interaction with the ligand was calculated using the formulation factor criterion and it was found that these residues have less flexibility and therefore have a greater tendency to bind to the ligand. Finally, the binding sites were introduced by calculating the binding energy of the mentioned residues. The results of this molecular dynamics simulation were in good agreement with the relevant experimental evidence.

Keywords: Alzheimer, Boswellic acid, beta amyloid